

LEGENDA SIMBOLI

- Piezometro tipo Norton tratto fenestrato.
- Cella di Casagrande.
- Lettura piezometrica (ottobre 2019): (a) piezometro fenestrato, (b) Cella di Casagrande.
- k=xxE-xx Prova di permeabilità [m/s].
- 26 • Prova SPT e valore di Nspt
- C12 ■ Campione indistruttato (CI) o rimangiato (CR) prelevato in foro.
- 3a-XX* L'asterisco a fianco al codice del sondaggio indica l'installazione di un inclinometro in un foro adiacente.
- 3b-XX* Il pallino a fianco al codice del sondaggio indica l'esecuzione di una prova Down Hole nel foro o in un foro adiacente realizzato appositamente.
- 3a-S36 □ Il quadrato a fianco al codice del sondaggio indica la realizzazione di una MASW adiacente al foro.
- 3b-S05 (P - 36 m NNE) q.320 m** Codice sondaggio
eventuale distanza e direzione del sondaggio rispetto all'asse di linea (P = proiettato)
quota boccaforo
- Posizione prova SPT
- Prelievo campione

LEGENDA GEOTECNICA

DEPOSITI DI VERSANTE
Coltre detritico-colluviale e/o eluvio-colluviale
c (c): Argille limose e sabbie localmente sabbie limose.

Depositi di versante
d (d): Ghiaie in matrice sabbioso-limosa

DEPOSITI ALLUVIONALI
Depositi alluvionali
a2 (a2): Limi e limi argillosi con subordinate sabbie limose
a (a): Ghiaie, sabbie, sabbie limose

Formazione di Enna
ENNb (ENNb): Calcareniti e arenarie
ENNa (ENNa): Argille marnose e marne

Trubi
TRb (TRb): Marne calcaree e calcari marnosi, argille, limi argillosi

Formazione di Pasquasia
GPQ (GPQ): marne, marne argillose e argille marnose

Formazione di Catolica
GTL3 (GTL3): salgemma con intercalati livelli di sali potassico-magnesi (kainite)
GTL2 (GTL2): Membro selenitico (GTL2): gessi e gessi massivi alternati ad argille gassose
GTL1 (GTL1): Membro del Calcare di Base (GTL1): calcari contenenti livelli di calcari brecciosi e peliti

Tripoli
TPL (TPL): diatomiti e marne diatomitiche

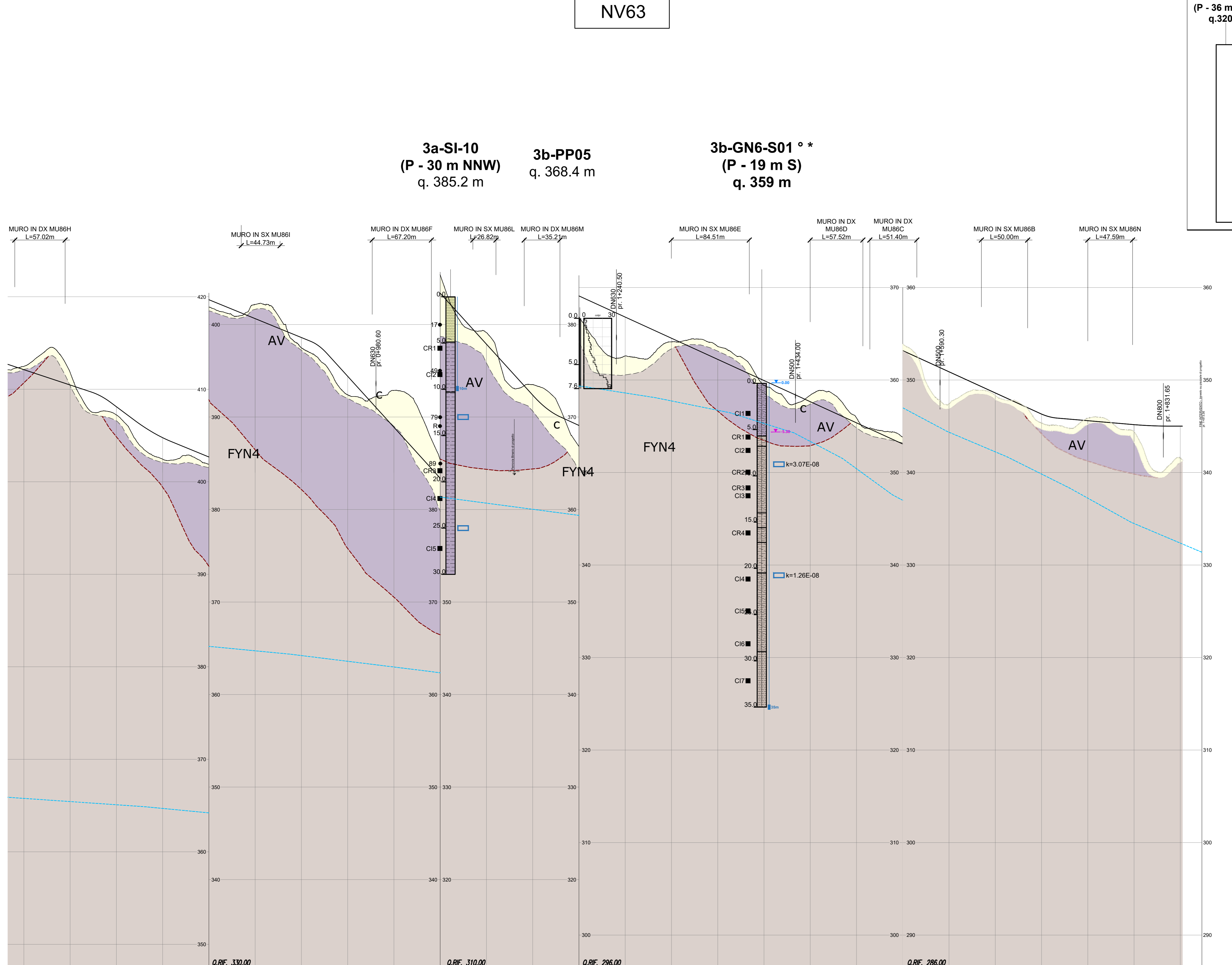
Formazione Terravecchia
TRV (TRV): argille limose e argille marnose
TRVa (TRVa): sabbie e arenarie con intercalazioni di conglomerati
TRVb (TRVb): argille, argille limose e limi argillosi di colore grigio e marrone a struttura brecciata

Membro di Nicasia
FYN4 (FYN4): alternanza di prevalentemente argille e argille siltose di colore da bruno a bruno tabacco con siltiti e quarzoareniti torbiditiche

Gruppo delle Argille Variegato
AV (AV): Argille scagliettate con intercalazioni di radiolariti, arenarie e calcareniti

LEGENDA SONDAGGI

- Terreno agrario
- Coltre superficiale limoso-argillosa e/o sabbiosa, con o senza suolo
- Ghiaie e sabbie, sabbie ghiaiose
- Sabbie
- Sabbie e limi, sabbie limose
- Limi e argille
- Breccie o conglomerati
- Marne s.s. ± argillose
- Argille ± limose e/o marnose
- Argille marnose e marne argillose ± limose e/o sabbiose
- Argille sabbiose
- Limi-argillosi o argilloso-marnosi, debolmente sabbiosi
- Limi sabbiosi, sabbioso-argillosi ± marnosi
- Calcarenite, arenaria ± calcarea
- Alternanza argille e arenarie
- Gessi
- Breccie, conglomerati
- Sale di K e Na
- Substrato in posto alterato per ossidazione
- Argille ± limose con ciottoli e ghiaia
- Arenarie
- Conglomerati
- Calcarea
- Argilla marnosa con clasti poligenici
- Peliti laminati con livelli gessosi, calcarenitici, gessarenitici
- Marne calcaree
- Alternanze calcari ± marnosi (prevalenti) / marne calcaree
- Gessoareniti
- Tracce di gesso o anidrite (cristalli, frammenti, clasti)
- Tracce di sale
- Tracce di idrocarburi
- Cavità carsiche



PROGRESSIVE	600.000	650.000	700.000	750.000	800.000	850.000	900.000	950.000	1000.000	1050.000	1100.000	1150.000	1200.000	1250.000	1300.000	1350.000	1400.000	1450.000	1500.000	1550.000	1600.000	1650.000	1700.000	1750.000	1800.000	1850.000	1900.000																																																																																																																																																																														
FASE CONSUNTIVA	<table border="1"> <thead> <tr> <th>PROGRESSIVE ETOMETRICHE</th> <th>FYNA</th> <th>AV/FYNA</th> <th>AV/FYNA</th> <th>AV/FYNA</th> <th>FYNA</th> <th>AV/FYNA</th> <th>FYNA</th> <th>AV/FYNA</th> <th>FYNA</th> <th>AV/FYNA</th> <th>FYNA</th> <th>AV/FYNA</th> <th>FYNA</th> <th>AV/FYNA</th> <th>FYNA</th> <th>AV/FYNA</th> <th>FYNA</th> <th>AV/FYNA</th> <th>FYNA</th> <th>AV/FYNA</th> <th>FYNA</th> <th>AV/FYNA</th> <th>FYNA</th> <th>AV/FYNA</th> <th>FYNA</th> <th>AV/FYNA</th> <th>FYNA</th> <th>AV/FYNA</th> </tr> <tr> <td>GRUPPO GEOTECNICO</td> <td>10-30</td> <td>10-30</td> <td>10-30</td> <td>10-30</td> <td>10-30</td> <td>10-30</td> <td>10-30</td> <td>10-30</td> <td>10-30</td> <td>10-30</td> <td>10-30</td> <td>10-30</td> <td>10-30</td> <td>10-30</td> <td>10-30</td> <td>10-30</td> <td>10-30</td> <td>10-30</td> <td>10-30</td> <td>10-30</td> <td>10-30</td> <td>10-30</td> <td>10-30</td> <td>10-30</td> <td>10-30</td> <td>10-30</td> <td>10-30</td> <td>10-30</td> </tr> <tr> <td>PROFONDITÀ DI FONDAZIONE</td> <td>10-30</td> <td>10-30</td> <td>10-30</td> <td>10-30</td> <td>10-30</td> <td>10-30</td> <td>10-30</td> <td>10-30</td> <td>10-30</td> <td>10-30</td> <td>10-30</td> <td>10-30</td> <td>10-30</td> <td>10-30</td> <td>10-30</td> <td>10-30</td> <td>10-30</td> <td>10-30</td> <td>10-30</td> <td>10-30</td> <td>10-30</td> <td>10-30</td> <td>10-30</td> <td>10-30</td> <td>10-30</td> <td>10-30</td> <td>10-30</td> <td>10-30</td> </tr> <tr> <td>COEFFICIENTE DI COMPRESSIONE</td> <td>0,1-0,5</td> <td>0,1-0,5</td> <td>0,1-0,5</td> <td>0,1-0,5</td> <td>0,1-0,5</td> <td>0,1-0,5</td> <td>0,1-0,5</td> <td>0,1-0,5</td> <td>0,1-0,5</td> <td>0,1-0,5</td> <td>0,1-0,5</td> <td>0,1-0,5</td> <td>0,1-0,5</td> <td>0,1-0,5</td> <td>0,1-0,5</td> <td>0,1-0,5</td> <td>0,1-0,5</td> <td>0,1-0,5</td> <td>0,1-0,5</td> <td>0,1-0,5</td> <td>0,1-0,5</td> <td>0,1-0,5</td> <td>0,1-0,5</td> <td>0,1-0,5</td> <td>0,1-0,5</td> <td>0,1-0,5</td> <td>0,1-0,5</td> <td>0,1-0,5</td> </tr> <tr> <td>COEFFICIENTE DI INCOMPRESSIONE</td> <td>0,035-0,08</td> <td>0,035-0,08</td> <td>0,035-0,08</td> <td>0,035-0,08</td> <td>0,035-0,08</td> <td>0,035-0,08</td> <td>0,035-0,08</td> <td>0,035-0,08</td> <td>0,035-0,08</td> <td>0,035-0,08</td> <td>0,035-0,08</td> <td>0,035-0,08</td> <td>0,035-0,08</td> <td>0,035-0,08</td> <td>0,035-0,08</td> <td>0,035-0,08</td> <td>0,035-0,08</td> <td>0,035-0,08</td> <td>0,035-0,08</td> <td>0,035-0,08</td> <td>0,035-0,08</td> <td>0,035-0,08</td> <td>0,035-0,08</td> <td>0,035-0,08</td> <td>0,035-0,08</td> <td>0,035-0,08</td> <td>0,035-0,08</td> <td>0,035-0,08</td> </tr> <tr> <td>COEFFICIENTE DI RESISTENZA</td> <td>0,25-0,3</td> <td>0,25-0,3</td> <td>0,25-0,3</td> <td>0,25-0,3</td> <td>0,25-0,3</td> <td>0,25-0,3</td> <td>0,25-0,3</td> <td>0,25-0,3</td> <td>0,25-0,3</td> <td>0,25-0,3</td> <td>0,25-0,3</td> <td>0,25-0,3</td> <td>0,25-0,3</td> <td>0,25-0,3</td> <td>0,25-0,3</td> <td>0,25-0,3</td> <td>0,25-0,3</td> <td>0,25-0,3</td> <td>0,25-0,3</td> <td>0,25-0,3</td> <td>0,25-0,3</td> <td>0,25-0,3</td> <td>0,25-0,3</td> <td>0,25-0,3</td> <td>0,25-0,3</td> <td>0,25-0,3</td> <td>0,25-0,3</td> <td>0,25-0,3</td> </tr> </thead></table>																											PROGRESSIVE ETOMETRICHE	FYNA	AV/FYNA	AV/FYNA	AV/FYNA	FYNA	AV/FYNA	FYNA	AV/FYNA	FYNA	AV/FYNA	FYNA	AV/FYNA	FYNA	AV/FYNA	FYNA	AV/FYNA	FYNA	AV/FYNA	FYNA	AV/FYNA	FYNA	AV/FYNA	FYNA	AV/FYNA	FYNA	AV/FYNA	FYNA	AV/FYNA	GRUPPO GEOTECNICO	10-30	10-30	10-30	10-30	10-30	10-30	10-30	10-30	10-30	10-30	10-30	10-30	10-30	10-30	10-30	10-30	10-30	10-30	10-30	10-30	10-30	10-30	10-30	10-30	10-30	10-30	10-30	10-30	PROFONDITÀ DI FONDAZIONE	10-30	10-30	10-30	10-30	10-30	10-30	10-30	10-30	10-30	10-30	10-30	10-30	10-30	10-30	10-30	10-30	10-30	10-30	10-30	10-30	10-30	10-30	10-30	10-30	10-30	10-30	10-30	10-30	COEFFICIENTE DI COMPRESSIONE	0,1-0,5	0,1-0,5	0,1-0,5	0,1-0,5	0,1-0,5	0,1-0,5	0,1-0,5	0,1-0,5	0,1-0,5	0,1-0,5	0,1-0,5	0,1-0,5	0,1-0,5	0,1-0,5	0,1-0,5	0,1-0,5	0,1-0,5	0,1-0,5	0,1-0,5	0,1-0,5	0,1-0,5	0,1-0,5	0,1-0,5	0,1-0,5	0,1-0,5	0,1-0,5	0,1-0,5	0,1-0,5	COEFFICIENTE DI INCOMPRESSIONE	0,035-0,08	0,035-0,08	0,035-0,08	0,035-0,08	0,035-0,08	0,035-0,08	0,035-0,08	0,035-0,08	0,035-0,08	0,035-0,08	0,035-0,08	0,035-0,08	0,035-0,08	0,035-0,08	0,035-0,08	0,035-0,08	0,035-0,08	0,035-0,08	0,035-0,08	0,035-0,08	0,035-0,08	0,035-0,08	0,035-0,08	0,035-0,08	0,035-0,08	0,035-0,08	0,035-0,08	0,035-0,08	COEFFICIENTE DI RESISTENZA	0,25-0,3	0,25-0,3	0,25-0,3	0,25-0,3	0,25-0,3	0,25-0,3	0,25-0,3	0,25-0,3	0,25-0,3	0,25-0,3	0,25-0,3	0,25-0,3	0,25-0,3	0,25-0,3	0,25-0,3	0,25-0,3	0,25-0,3	0,25-0,3	0,25-0,3	0,25-0,3	0,25-0,3	0,25-0,3	0,25-0,3	0,25-0,3	0,25-0,3	0,25-0,3	0,25-0,3	0,25-0,3
PROGRESSIVE ETOMETRICHE	FYNA	AV/FYNA	AV/FYNA	AV/FYNA	FYNA	AV/FYNA	FYNA	AV/FYNA	FYNA	AV/FYNA	FYNA	AV/FYNA	FYNA	AV/FYNA	FYNA	AV/FYNA	FYNA	AV/FYNA	FYNA	AV/FYNA	FYNA	AV/FYNA	FYNA	AV/FYNA	FYNA	AV/FYNA	FYNA	AV/FYNA																																																																																																																																																																													
GRUPPO GEOTECNICO	10-30	10-30	10-30	10-30	10-30	10-30	10-30	10-30	10-30	10-30	10-30	10-30	10-30	10-30	10-30	10-30	10-30	10-30	10-30	10-30	10-30	10-30	10-30	10-30	10-30	10-30	10-30	10-30																																																																																																																																																																													
PROFONDITÀ DI FONDAZIONE	10-30	10-30	10-30	10-30	10-30	10-30	10-30	10-30	10-30	10-30	10-30	10-30	10-30	10-30	10-30	10-30	10-30	10-30	10-30	10-30	10-30	10-30	10-30	10-30	10-30	10-30	10-30	10-30																																																																																																																																																																													
COEFFICIENTE DI COMPRESSIONE	0,1-0,5	0,1-0,5	0,1-0,5	0,1-0,5	0,1-0,5	0,1-0,5	0,1-0,5	0,1-0,5	0,1-0,5	0,1-0,5	0,1-0,5	0,1-0,5	0,1-0,5	0,1-0,5	0,1-0,5	0,1-0,5	0,1-0,5	0,1-0,5	0,1-0,5	0,1-0,5	0,1-0,5	0,1-0,5	0,1-0,5	0,1-0,5	0,1-0,5	0,1-0,5	0,1-0,5	0,1-0,5																																																																																																																																																																													
COEFFICIENTE DI INCOMPRESSIONE	0,035-0,08	0,035-0,08	0,035-0,08	0,035-0,08	0,035-0,08	0,035-0,08	0,035-0,08	0,035-0,08	0,035-0,08	0,035-0,08	0,035-0,08	0,035-0,08	0,035-0,08	0,035-0,08	0,035-0,08	0,035-0,08	0,035-0,08	0,035-0,08	0,035-0,08	0,035-0,08	0,035-0,08	0,035-0,08	0,035-0,08	0,035-0,08	0,035-0,08	0,035-0,08	0,035-0,08	0,035-0,08																																																																																																																																																																													
COEFFICIENTE DI RESISTENZA	0,25-0,3	0,25-0,3	0,25-0,3	0,25-0,3	0,25-0,3	0,25-0,3	0,25-0,3	0,25-0,3	0,25-0,3	0,25-0,3	0,25-0,3	0,25-0,3	0,25-0,3	0,25-0,3	0,25-0,3	0,25-0,3	0,25-0,3	0,25-0,3	0,25-0,3	0,25-0,3	0,25-0,3	0,25-0,3	0,25-0,3	0,25-0,3	0,25-0,3	0,25-0,3	0,25-0,3	0,25-0,3																																																																																																																																																																													

COMMITTENTE: **RFI RETE FERROVIARIA ITALIANA GRUPPO FERROVIE DELLO STATO ITALIANE**

PROGETTAZIONE: **ITALFER**

DIRETTRICE FERROVIARIA MESSINA - CATANIA - PALERMO

NUOVO COLLEGAMENTO PALERMO - CATANIA

U.O. INFRASTRUTTURE SUD

PROGETTO DEFINITIVO

TRATTA LERCARA DIR. - CALTANISSETTA XIRBI (LOTTO 3)

GEOTECNICA

Profilo geotecnico viabilità NV63

Tav. 2 di 2

SCALA: **1:200/2000**

COMMESSA LOTTO FASE ENTE TIPO DOC. OPERA/DISCIPLINA Progr. REV.

Rev.	Descrizione	Redatto	Data	Verificato	Data	Approvato	Data	Autorezzato Data
A	EMISSIONE ESECUTIVA	...	Gen-2020	...	Gen-2020	...	Gen-2020	...
B	EMISSIONE ESECUTIVA	...	Feb-2020	...	Feb-2020	...	Feb-2020	...
C	EMISSIONE ESECUTIVA	...	Apr-2020	...	Apr-2020	...	Apr-2020	...
D	EMISSIONE ESECUTIVA	...	Mar-2021	...	Mar-2021	...	Mar-2021	...

File: R33130D78F6GE0000048D n. Elab.: 78_162